第34回

## 日本計場對学会学師慧会

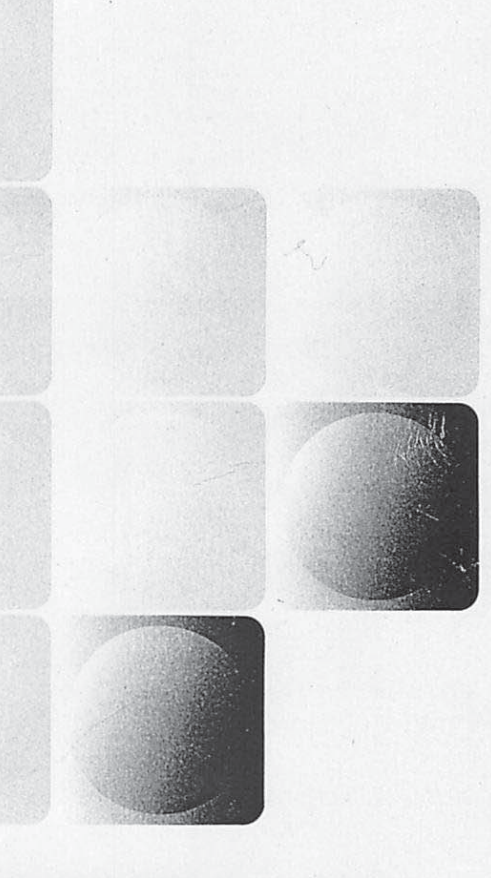
The 34th Annual Meeting of the Japanese Society for Bone and Mineral Research

## 第3回アジア太平洋計代謝学会議

The 3rd Asia-Pacific Bone & Mineral Research Meeting

プログラム沙鐡県

Program & Abstracts



宗園 聰(近畿大学医学部奈良病院整形外科・リウマチ科)

2016年7月20日(水)~23日(土)

大阪国際会議場

〒530-0005 大阪府大阪市北区中之島5-3-51
TEL: 06-4803-5555 (代表) FAX: 06-4803-5620

ホームページ http://www2.convention.co.jp/34jsbmr-apbmr2016

マウス骨細胞系 MLO-Y4 細胞株においてシンバスタチ P2-51 ンは NADPH oxidase 1 および 2 発現の抑制を介してホ モシステインによるアポトーシス促進を解除する 一平, 田中賢一郎, 野津 雅和, 歩, 金沢 真希, 杉本 利嗣 横本

島根大学 医学部 内科学講座内科学第一

情景】Hydroxy-3-methylglutaryl coenzyme A (HMG-CoA) reductase 阻害薬であるスタチンは骨芽細胞分化を促進し骨形成に働くことは知られているが、骨細胞への影響については不明である。ホモシステ骨芽細胞・骨細胞のアポトーシスを増加させることにより骨芽細胞・骨細胞のアポトーシスを誘導する。一方、スタチンはNADPH oxidase (Nox) などの酸化ストレス誘導因子を制御して酸化ストレスを緩和することが知られている。したがって、スタチンがHcyによる骨細胞のアポトーシス誘導に対して抑制的に働く可能性が考えられる。【目的】マウス骨細胞系 MLO-Y4 細胞株においてス誘導因子である NADPH oxidase (Nox) の発現に影響するか否かを明まる。【方法】スタチンは脂溶性である simvastatin (SIM) と水溶性である Pravastatin (PRA) を用いた。MLO-Y4 細胞がコンフルエントになった後に各試薬を添加し、60時間後にヌクレオソームが断生である Pravastatin (PRA) を用いた。MLO-Y4 細胞がコンフルエントになった後に各試薬を添加し、60時間後にヌクレオソームが断生である ELISA 法、72時間後に TUNEL 染色にてアポトーシスを検討した。Nox の発現について real-time PCR を用いて検討した。【結果】TUNEL 染色において Hcy 5 mM は MLO-Y4 細胞のアポトーシスを有意に増強した。Hcy と SIM 10<sup>9</sup> M および 10<sup>8</sup> M の同時添加は、Hcy のアポトーシス・大作用を確認した。一方、PRA の添加では有意な抗アポトーシスが開から、SIM 10<sup>9</sup> M および 10<sup>8</sup> M の添加は、Hcy による Nox1 および Nox2 mRNA 発現の増加を有意に抑制した。Hcy および SIM は Nox4 発現に影響しなかった。【考察】SIM は Hcy による 骨細胞のアポトーシス 誘導を抑制することが研らかとなり、その機序として Nox1 と Nox2 発現を抑制することが研らかとなり、その機序として Nox1 と Nox2 発現を抑制することが研らかとなり、その機序として Nox1 と Nox2 発現を抑制することが可らかとなり、その機序として Nox1 と Nox2 発現を抑制することが可らなな の テ、 PRA には明らかな抗アポトーシス 作用は確認されず、class effect がある可能性が示唆された。【結語】SIM は Hcy による 骨細胞のアポトーシスと、それにより引き起こされる 骨脆 明性を軽減する可能性がある。 弱性を軽減する可能性がある。

Alternation in gap-junctional intercellular P2-53 communication capacity during the ex vivo transformation of osteocytes in the embryonic chick

> Ziyi Wang, Naoya Odagaki, Tomoyo Tanaka, Mana Hashimoto, Hiroshi Kamioka

Department of Orthodontics, Okayama University Graduate School of Medicine, Dentistry and Pharmaceutical Sciences, Japan

Introduction: The intercellular network of cell-cell communication among osteocytes is mediated by gap junctions. Gap junctional intercellular communication (GJIC) is thought to play an important role in the integration and synchronization of bone remodeling. To further understand the mechanism of bone development it is important to quantify the difference in the GJIC capacity of younger and mature osteocytes ex vivo.

Materials and Methods: We first established as ambuvoic shield of the communication of the communication of the communication of the communication among osteocytes is mediated by the communication among osteocytes is mediated by the communication (GJIC) is thought of the communication (GJIC) is the

important to quantify the difference in the GJIC capacity of younger and mature osteocytes ex vivo. Materials and Methods: We first established an embryonic chick calvaria growth model to show the growth of the calvaria in embryos at 13 to 21 days of age. We then applied a fluorescence recovery after photobleaching (FRAP) technique to compare the difference in the GJIC capacity of younger osteocytes with that of more mature osteocytes. Finally, we quantified the dye (Calcein-AM) diffusion from the FRAP data using a mathematic model of simple diffusion which was also used to identify simple diffusion GJIC pattern cells (fitted model) and accelerated diffusion GJIC pattern cells (non-fitted model).

Results: The relationship between the longest medial-lateral length of the calvaria (frontal bone) and the embryonic age fit a logarithmic growth model: length=5.326 × ln(day)-11.595. The morphometric data during osteocyte differentiation showed that the cellular body becomes more spindle-shaped and that the cell body volume decreased by approximately 22% with an increase in the length of the processes between the cells. However, there were no significant differences in the cellular body surface area or in the distance between the mass centres of the cells. The dyedisplacement rate in younger osteocytes was significantly higher than that in mature osteocytes: dye displacement only occurred in 26.88% of the mature osteocytes, while it occurred in 64.38% of the young osteocytes. Additionally, in all recovered osteocytes, 36% of the mature osteocytes were the non-fitted model cells while 53.19% of the young osteocytes were the non-fitted model cells while transduction of dye molecules. However, there were no statistically significant differences between the young and mature osteocytes which indicates the active transduction of dye molecules. However, there were no statistically significant differences between the young and mature osteocytes with regard to the diffusion coefficient, permeability coefficient, or permeance

(mean ± SD) respectively.

Conclusions: These experiments comprehensively quantified the GJIC capacity in the embryonic chick calvaria and indicated that the cell-cell communication capacity of the osteocytes in the embryonic chick calvaria was related to their age.

授乳期のカルシウム欠乏食給餌マウスにおける骨細胞層 P2-52 囲の骨基質の微細構造学的変化について

本郷 裕美<sup>1</sup>, 佐々木宗輝<sup>2</sup>, 斎藤 雅美<sup>3</sup>, 宇田川信之 網塚 憲生1

歯学部 硬組織発生生物学教室<sup>1</sup>, 長崎大学 医歯薬等 口腔インプラント学分野<sup>2</sup>, ブルカー AXS 株式会社 : 口腔4 化学譜 <sup>4</sup> 北海道大学 総合研究科 松本歯科大学 口腔生化学講座

【目的】 授乳期のマウスは乳汁を介してカルシウム (Ca) の排出量が多くなるため、時として低カルシウム血症に陥ることが知られているそこで妊娠マウスを、アレンドロネート投与群 (破骨細胞の骨吸収率制) と非投与群に分け、さらに Ca 欠乏食を給餌することで Ca の事給量を減らし、骨細胞周囲の骨基質に変化が現れるか微細構造学的に発力した。

快楽した。 【材料と方法】 生後12週齢の妊娠マウスをアレンドロネート投与書 (1mg/kg,10 日間) と非投与群に分け、出産直後からCa欠乏貴 (Ca:0.018%)を給餌した。それぞれ数時間後に固定し、血中Ca濃度測定 TRAP染色、トルイジンブルー染色、von Kossa染色、原子間力要量 鏡(AFM)によるナノインデンテーション、透過型電子顕微鏡(TEM 観察、共焦。レーザー顕微鏡観察、<sup>42</sup>Ca安定同位体投与による同位主 取微鏡観察なる。

観察、共焦点レーザー顕微鏡観察、\*\*\* Ca 安定同位体投与による同位 顕微鏡観察を行った。
【結果と考察】 授乳期マウスではアレンドロネート投与の有無に関すらず、Ca 欠乏食給餌 48h 後で血中 Ca 濃度は低下した。また授乳類では TRAP 陽性破骨細胞が増加したが、アレンドロネート投手では 破骨細胞は明らかな波状縁を持たず、またアポトーシスに陥ってるものも見られた。Ca 欠乏食給餌 48h 後の試料を AFM 観察すると骨小腔周囲の骨基質の弾性率は低下傾向を示しており、それらを骨小腔の場合を引き、アレンドロネート投与群・非投与群ともに骨小を Kossa 染色すると、アレンドロネートでは サカルを TEM 観察では、骨小腔内部にはコラーゲン線維が分解された。思われる不定形構造物が見られた。エEM 観察すると、思われる不定形構造物が見られた。また Ca 欠乏食給餌 72 時間後のでは、現別な外形を示し、骨小腔内部にはコラーゲン線維が分解された。思われる不定形構造物が見られた。また Ca 欠乏食給餌 72 時間後のこまたと細管に一致したカルセインに関鍵の変にて観察すると、小腔周囲に 40 Ca 安定同位体の局在を認めた。以上より、骨細胞は、過性に周囲の骨基質を溶解し、その後、石灰化沈着を誘導することで唆された。 示唆された。

(3)

骨細胞が産生する exosome に含まれる miRNA の解析 P2-54 佐藤 真理, 田村 正人

北海道大学 大学院歯学研究科 口腔分子生化学教室

【目的】骨細胞は胸腺や脂肪など遠隔他臓器への関与が示唆されて るがその制御機構は明らかではない。本研究では骨細胞による速度 臓器制御機構の一端として、骨細胞が産生する exosome に含まれるでは exosome に含まれる microRNA に着目した。骨細胞が血中に放出する exosome に含まれる miRNA が遠隔他臓器の細胞を制御している可能性を検証することを見かれる。 を目的とし、骨細胞 exosome に特異的な miRNA の同定を目指した。 のどの細胞にどれだけ取り込まれるのか 3) exosomal miRNA が世事 器の細胞で実際にどれだけ機能的に働くのかがあげられる。